

1. Cinemática $v = \frac{ds}{dt} \left| a_t = \frac{dv}{dt} \right| a_t = v \frac{dv}{ds} \left| a_t = a \cos \theta \right| a_n = a \sin \theta \left| v_x = \frac{dx}{dt} \right| a_x = \frac{dv_x}{dt} \left| a_x = v_x \frac{dv_x}{dx} \right|$
 $\left| a_t = \text{const. } v(s)^2 = v_i^2 + 2a_t(s - s_i) \right. \& \left. s(t) = s_i + v_i(t - t_i) + \frac{1}{2} a_t(t - t_i)^2 \right|$

2. Cinemática vetorial $\vec{a} \cdot \vec{b} = a b \cos \theta = a_x b_x + a_y b_y + a_z b_z \left| a = \sqrt{\vec{a} \cdot \vec{a}} \right| \vec{r} = x\hat{i} + y\hat{j} + z\hat{k} \left| \vec{v} = \frac{d\vec{r}}{dt} \right| \vec{a} = \frac{d\vec{v}}{dt}$
 $\vec{r} = \vec{r}_0 + \int_0^t \vec{v} dt \left| \vec{v} = \vec{v}_0 + \int_0^t \vec{a} dt \right|$

Movimento Relativo: $\vec{r}' = \vec{r} + \vec{r}'_O \left| \vec{v}' = \vec{v} + \vec{v}'_O \right| \vec{a}' = \vec{a} + \vec{a}'_O$

3. Movimento curvilíneo $\vec{a} \times \vec{b} = -\vec{b} \times \vec{a} \left| \vec{a} \times \vec{b} = a b \sin \theta \hat{n} = \begin{vmatrix} \hat{i} & \hat{j} & \hat{k} \\ a_x & a_y & a_z \\ b_x & b_y & b_z \end{vmatrix} \right| \vec{v} = s \hat{e}_t \left| \vec{a} = v \hat{e}_t + \frac{v^2}{R} \hat{e}_n \right| a^2 = a_t^2 + a_n^2$

Movimento Circular: $s = R \theta \quad v = R \omega \quad \omega = \dot{\theta} \quad a_t = R \alpha \quad a_n = R \omega^2 = v \omega \quad \omega = \frac{\Delta \theta}{\Delta t}$

Rotação plana: $\vec{\omega} = \omega \hat{e}_{axis} \left| \vec{v} = \vec{\omega} \times \vec{r} \right| \vec{v} = \omega (x\hat{j} - y\hat{i}) \left| \vec{a} = \vec{a} \times \vec{r} + \vec{\omega} \times \vec{v} \right| \hat{a}_t = \alpha (x\hat{j} - y\hat{i}) \left| \hat{a}_n = -\omega^2 (x\hat{i} - y\hat{j}) \right|$

$\omega = \frac{d\theta}{dt} \left| \alpha = \frac{d\omega}{dt} \right| \alpha = \omega \frac{d\omega}{d\theta}$

4. Mecânica vetorial $\int_{t_1}^{t_2} \sum_{i=1}^n \vec{F}_i dt = \vec{p}_2 - \vec{p}_1 \quad \vec{p} = m\vec{v} \quad \sum_{i=1}^n \vec{F}_i = m \vec{a} \quad \vec{P} = m \vec{g} \quad F_e \leq \mu_e R_n \quad F_c = \mu_c R_n$

Esfera num fluido: $N_R = r v \left(\frac{\rho}{\eta} \right) \quad F_f = 6 \pi \eta r v \quad (N_R < 1) \quad F_f = \frac{\pi}{4} \rho r^2 v^2 \quad (N_R > 10^3)$

5. Dinâmica dos corpos rígidos $M_O = F d \left| \vec{M}_O = \vec{r} \times \vec{F} \right| M_z = \begin{vmatrix} x & y \\ F_x & F_y \end{vmatrix} \quad \text{"F}_x\text{" = Componente x de F -- "x" posição ponto aplicação de força}$

$\vec{r}_{cm} = \frac{1}{m} \int \vec{r} dm \left| \vec{v}_{cm} = \frac{1}{m} \int \vec{v} dm \right| \vec{a}_{cm} = \frac{1}{m} \int \vec{a} dm \left| F_1 d_1 = F_2 d_2 \right| \sum_{i=1}^n \vec{F}_i = m \vec{a}_{cm} \left| \sum_{i=1}^n M_{z,i} = I_z \alpha \right| I_z = \int R^2 dm$
 $I_z = I_{cm} + m d^2 \quad \vec{F}_r = m \vec{a}_{cm} \quad M_{r,z} = I_z \alpha \quad F d = I_z \alpha$

6. Trabalho e Energia

$W_{12} = \int_{s_1}^{s_2} \vec{F}_i \cdot d\vec{s} = E_c(2) - E_c(1) \quad E_{cr} = \frac{1}{2} m v_{cm}^2 + \frac{1}{2} I_{cm} \omega^2 \quad U = - \int_{\vec{r}_0}^{\vec{r}} \vec{F} \cdot d\vec{r} \quad F_t^c = - \frac{dU}{ds}$

$U_g = m g z \quad U_e = \frac{1}{2} k s^2 \quad E_m = E_c + U \quad \int_{s_1}^{s_2} F_t^{nc} ds = E_m(2) - E_m(1) \quad \int_{s_1}^{s_2} F_t^c ds = U(s_1) - U(s_2)$

Oscilador harmónico simples: $\Omega = \sqrt{\frac{k}{m}} = 2\pi f \quad T = \frac{1}{f} \quad s = A \sin(\Omega t + \phi_0) \quad E_m = \frac{1}{2} m v^2 + \frac{1}{2} k s^2$

O trabalho realizado pela força resultante, ao longo da trajetória, é igual ao aumento da energia cinética da partícula.

O trabalho realizado pelas forças não conservativas, ao longo da trajetória, é igual ao aumento da energia mecânica.

O trabalho realizado entre dois pontos por uma força conservativa é igual à diminuição da energia potencial associada a essa força.

7. Sistemas dinâmicos $\dot{x}_1 = f_1(x_1, x_2) \quad \dot{x}_2 = f_2(x_1, x_2) \quad \vec{u} = f_1(x_1, x_2)\hat{e}_1 + f_2(x_1, x_2)\hat{e}_2$

Equações diferenciais de segunda ordem: $\ddot{x} = f(x, \dot{x}) \quad y = \dot{x} \quad \dot{y} = f(x, y) \quad \vec{u} = y\hat{i} + f(x, y)\hat{j}$

Ponto de Equilíbrio: $\vec{u} = \vec{0}$ (estável ou instável). Força é nula.

Ciclo: curva fechada no espaço de fase. Órbita homoclínica: começa e termina no mesmo ponto de equilíbrio

instável. <0 Órbita heteroclínica: liga vários pontos de equilíbrio instáveis.

Hamilton: Se (1º ord.) $\frac{\partial f_1}{\partial x_1} + \frac{\partial f_2}{\partial x_2} = 0$; (2ª ord.) $\frac{\partial f}{\partial y} = 0$; (sist. mecânico) F_t ã dep. $v \rightarrow$ sist. dinâmico conservativo

1. $\frac{\partial H}{\partial s} = -\frac{F_t}{m}$ 2. $\frac{\partial H}{\partial v} = v$ 3. $H = \frac{v^2}{2} - \int_{s_0}^s F_t ds$ 4. $H(s, v) = \frac{E_c(v) + U(s)}{m} \quad f_1 = \frac{\partial H}{\partial x_2} \quad f_2 = -\frac{\partial H}{\partial x_1}$

8. Mecânica Lagrangiana $\frac{d}{dt} \left(\frac{\partial E_c}{\partial \dot{q}_j} \right) - \frac{\partial E_c}{\partial q_j} + \frac{\partial U}{\partial q_j} = Q_j = \sum_i \vec{F}_i \cdot \frac{\partial \vec{r}_i}{\partial q_j} \quad Q_j = 0$ em sistemas conservativos

Multiplicadores de Lagrange:

$\frac{d}{dt} \left(\frac{\partial E_c}{\partial \dot{q}_j} \right) - \frac{\partial E_c}{\partial q_j} + \frac{\partial U}{\partial q_j} - \lambda \frac{\partial f}{\partial q_j} = Q_j \quad \lambda \frac{\partial f}{\partial q_j} =$ componente j da força/momento de ligação

9. Sistemas lineares $\frac{d\vec{r}}{dt} = \mathbb{A}\vec{r}$ $\mathbb{A} = \begin{bmatrix} a_{11} & a_{12} \\ a_{21} & a_{22} \end{bmatrix}$ $\vec{r} = \begin{bmatrix} x \\ y \end{bmatrix}$ $\lambda = \frac{\text{tr}(\mathbb{A})}{2} \pm \sqrt{\left[\frac{\text{tr}(\mathbb{A})}{2}\right]^2 - \det(\mathbb{A})}$

Valores próprios: $\lambda^2 - \text{tr}(\mathbb{A})\lambda + \det(\mathbb{A}) = 0$ $\text{tr}(\mathbb{A}) = \mathbb{A}_{11} + \mathbb{A}_{22}$ $\det(\mathbb{A}) = \mathbb{A}_{11}\mathbb{A}_{22} - \mathbb{A}_{12}\mathbb{A}_{21}$

| Valores próprios λ | Tipo de ponto | Estabilidade |
|----------------------------------|----------------------------|--------------|
| 2 reais; sinais opostos | Ponto de sela | Instável |
| 2 reais; positivos | Nó repulsivo / nó instável | Instável |
| 2 reais; negativos | Nó atrativo / nó estável | Estável |
| 2 complexos; parte real positiva | Foco repulsivo | Instável |
| 2 complexos; parte real negativa | Foco atrativo | Estável |
| 2 imaginários | Centro | Estável |
| 1 real, positivo | Nó impróprio repulsivo | Instável |
| 1 real, negativo | Nó impróprio atrativo | Estável |

Oscilador amortecido: $\ddot{x} = -\frac{k}{m}x - \frac{c}{m}\dot{x}$ | sist. lin. Conservativo: $\text{tr}(\mathbb{A}) = 0 \rightarrow$ centro ou sela

C: = 0 - centro; > 0 & $< 2\sqrt{mk}$ - foco atrativo; $= 2\sqrt{mk}$ - nó impróprio atrativo; $> 2\sqrt{mk}$ - nó atrativo;

10. Sistemas não lineares

$\dot{x}_1 = f_1(x_1, x_2)$ $\dot{x}_2 = f_2(x_1, x_2)$ (f_1 e f_2 funções não lineares) | Pêndulo: $\ddot{\theta} = -\frac{g}{l}\sin\theta$ $l = \frac{r_g^2}{r_{cm}}$

Matriz Jacobiana: $\mathbb{J}(x_1, x_2) = \begin{bmatrix} \frac{\partial f_1}{\partial x_1} & \frac{\partial f_1}{\partial x_2} \\ \frac{\partial f_2}{\partial x_1} & \frac{\partial f_2}{\partial x_2} \end{bmatrix}$ (substituir com pontos de equilíbrio e arranjar valores próprios)

Em cada ponto de equilíbrio p_i é a matriz \mathbb{A}_i do sistema linear que aproxima o sistema não linear nessa região

BATCHES:

diffEq - quando dão equação diferencial (xpp = ...)

evolVar - quando aparece nas opções amplitude e período

pontosEquilForca - dão expressão da força e pedem pontos equilíbrio, etc

sisdin - introduzir sistema dinâmico, dá pontos de equilíbrio, Jacob e eigenvalues OU introduzir eigenvalues e classifica

pontos e cenas - analisa sistema dinâmico (e 2 espécies também)

MAXIMA:

- coefmatrix([eq1,eq2],[raiz1, raiz2]) – cria matriz, representa sistema linear substituído

- eigenvectors(A) – [valores próprios, multiplicidade de cada, direções]

- plotdf [\dot{s} , \dot{v}], [s,v], [s, lim-, lim+], [v, lim-, lim+], [trajectory_at,a,b])

- gradef(x1,t,v1) – indica que v1 é variável de x1

- trigsimp(vec1, vec2) – produto escalar

- subst(var a substituir, expressão)

- jacobian ([$f_1(x_1, x_2), f_2(x_1, x_2)$], [x_1, x_2])

- solve(expressão); - realroots(expressão(só depende de uma variável));

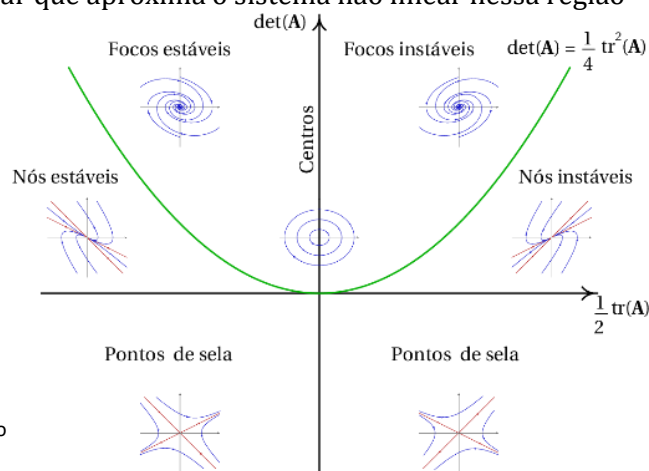
- float();

- float (map (rectform, %)); (map) – aplica a cada parte de % a função rectform

- rectform(valores com números imaginários) – põe em forma $a + bi$

- diff(expressão, variável);

- expand();



| Descrição | Figura | |
|--|--------|--|
| Massa pontual m a uma distância r dos eixos de rotação. | | $I = mr^2$ |
| Duas massas pontuais, M e m , com a massa reduzida μ e separadas por uma distância x . | | $I = \frac{Mm}{M+m}x^2 = \mu x^2$ |
| Barra de comprimento L e massa m (Eixo de rotação no fim da barra) | | $I_{\text{fim}} = \frac{mL^2}{3}$ [1] |
| Barra de comprimento L e massa m | | $I_{\text{centro}} = \frac{mL^2}{12}$ [1] |
| Aro circular de raio r e massa m | | $I_z = mr^2$ $I_x = I_y = \frac{mr^2}{2}$ |
| Disco fino de raio r e massa m | | $I_z = \frac{mr^2}{2}$ $I_x = I_y = \frac{mr^2}{4}$ |

BATCHES DE 1º TESTE:

acels - quando dão o vetor aceleração e velocidade, calcula acelerações normal, tangencial e raio de curvatura

angpesc - angulo entre vetores, etc.

atritoBlocos - 1 bloco em cima do outro com força a puxar

acelAngPc1 - aceleração angular do disco (corpo) rígido

eixosParalel - dão momento de inercia num eixo e pedem noutro eixo paralelo

modAcelBloco - bloco em movimento horizontal com força contraria

aviao - loop vertical

modulo momento - modulo do momento da força em relação a origem

mominfTan - força tangencial aplicada na periferia do disco

projatil extra - exercícios de projeteis

atwood - máquina de Atwood (roldana com 2 pesos), dá os valores das tensões e aceleração de cada bloco

normalrodas - calcula a normal nas rodas (bloco em cima de outro com rodas em baixo, com distâncias e massas apenas)

um-camiao-transporta-uma-caixa-retangular-homogenea-com-60cm-de-largura-na-base-e-150cm-de-altura - está no nome lol

